

(64) 層状装入高炉におけるガスの流量分配比の近似解析

名古屋大学 工学部

桑原 守・近松栄二
草便 勝

1. 緒言 高炉内を上昇するガスは鉱石とコークスの層状装入に起因して不均一な流动をする。前報¹⁾では、流动方程式の数値解析結果とガスの質量速度に関するベクトル線図で表示する手法を提示した。本報では、数値計算から得られた知見に基づいた近似解析を展開した結果、鉱石層とコークス層間でのガスの流量分配比を簡単な計算で容易に予測できることがわかった。

2. 近似解析 矩形層における数値解析から得られた知見に基づいて、次のような近似を取る。

(1) 流入したガスが二、三層を通過した後は、流線の蛇行は同じパターンを繰り返すので、流線は鉱石層とコークス層の1 blockを通過すると元の半径位置に回復する。(2) 一つの流線に沿っての同一層のガスの質量速度および流線の方位はほぼ一定である。

図1には、モデル化に必要な下記の諸量の関係を模式的に示す。

$$\ell_c = \Delta \cot \theta_0 / \sin(\theta_c - \theta_0) \dots (1), \quad l_0 = -\Delta \cot \theta_c / \sin(\theta_c - \theta_0) \dots (2)$$

$$\Delta_o = (\tan \alpha_0 - \tan \alpha_c)(\zeta - 0.5)R_0 + (\Delta_o)\zeta = v_z, \quad \Delta_c = \Delta - \Delta_o \dots (3)$$

$$\tan \theta_0 = (\Delta / \Delta_c) \tan \alpha^* - (\Delta_o / \Delta_c) \tan \alpha_c \dots (4), \quad G_o / G_c = \sin(\theta_c - \alpha^*) / \sin(\theta_0 - \alpha^*) \dots (5)$$

$$-(\Delta P)_t = (f_{1,c} + f_{2,c} G_c) G_c \ell_c + (f_{1,o} + f_{2,o} G_o) G_o \dots (6)$$

$$Ergun式の抵抗係数であり, f_1 \equiv 150(1-\varepsilon)^2 \mu / \varepsilon^3 (\phi dp)^2 \rho, f_2 \equiv 1.75 \times$$

$(1-\varepsilon) / \varepsilon^3 (\phi dp) \rho$ 以上の式を導き、 $\alpha^* \equiv (\alpha_c + \alpha_0) / 2$, f_1 と f_2 は表1に示す。

以上のようにして $(\Delta P)_t$ が最小となる時の G_o / G_c , θ_c , θ_0 の値を求める。

3. 計算結果 表1は、基準操業条件 R^* ($O/C=4.0$, $\Delta=1.2$, $d_{po}=2\text{cm}$, $d_{pc}=5\text{cm}$, $\varepsilon_o=0.35$, $\varepsilon_c=0.40$)

に対して、操業条件を変更した場合における $\psi=0.5$

(正たてし、中心軸で $\psi=0$, 磁で $\psi=1.0$) の流線に沿う

両層間の質量速度比と流線の方位に関する数値解と近似解を示している。なお、表中の \bar{x} は $\psi=0.5$ の流線が

蛇行しつつたどる経路の平均的な半径方向位置である。

ここで、近似解の数値解に対する相対誤差は最大9%,

平均4%であった。図2と図3では、鉱石

層の見かけの安息角が異なる条件下で、鉱石層とコークス層の質量速度比の半径方向

分布を数値解析および近似解析によって求めてみたが、両者の結果は傾向的にも数値的に

も良い一致を示している。

4. 記号 G : ガスの質量速度, Δ : 層厚,

θ : 横軸の正方向からの反時計回りの流線角,

R_0 : 炉幅, r : 横方向距離, $\zeta = r/R_0$,

α : 見かけの安息角, $(\Delta P)_t$: 鉱石層とコー

クス層の1 blockを通過する際の圧力損失

文献 1) 桑原, 近松: 鉄と鋼, 62(1976) 9.42

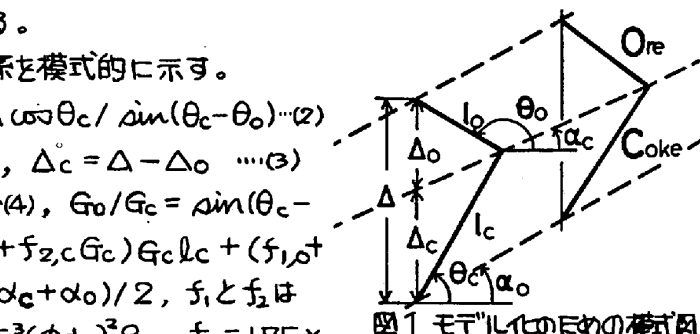
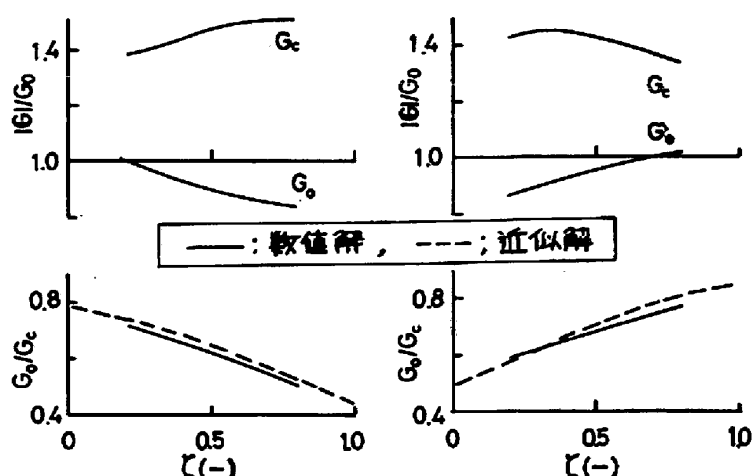


図1 モデル化のための模式図

表1 数値解と近似解の比較

| 操作条件 | 解法 | $\alpha_c = 25^\circ$ | | | | | |
|----------|-----|-----------------------|------------|------|-----------------------|-------------|------------|
| | | $\alpha_0 = 30^\circ$ | | | $\alpha_0 = 20^\circ$ | | |
| R^* | 数値解 | 125° | 67° | 0.53 | 0.473 | 125° | 64° |
| | 近似解 | 128 | 67 | 0.65 | | 125 | 67 |
| O/C | 数値解 | 125 | 77 | 0.75 | 0.463 | 125 | 76 |
| | 近似解 | 122 | 79 | 0.78 | | 117 | 80 |
| Δ | 数値解 | 124 | 66 | 0.63 | 0.457 | 126 | 64 |
| | 近似解 | 127 | 69 | 0.67 | | 124 | 68 |
| d_{po} | 数値解 | 114 | 73 | 0.71 | 0.482 | 115 | 70 |
| | 近似解 | 124 | 69 | 0.66 | | 122 | 68 |

図2 G_o/G_c の半径方向分布 ($d_o=30^\circ, d_c=25^\circ$)図3 G_o/G_c の半径方向分布 ($d_o=20^\circ, d_c=25^\circ$)